



Національний університет
водного господарства
та природокористування

Міністерство освіти і науки України

Національний університет водного господарства
та природокористування

Кафедра хімії та фізики

05-06 34

**Методичні вказівки
до виконання лабораторних робіт
із навчальної дисципліни «Фізика»**

розділ «ЕЛЕКТРОМАГНЕТИЗМ»

для студентів інженерно-технічних напрямів підготовки
денної, заочної та дистанційної форми навчання

Рекомендовано
науково-методичною
радою НУВГП
протокол № від . .20 р.

РІВНЕ – 2014

Методичні вказівки до виконання лабораторних робіт з навчальної дисципліни «Фізика», розділ «ЕЛЕКТРОМАГНЕТИЗМ» для студентів інженерно-технічних напрямів підготовки денної, заочної та дистанційної форм навчання/ Є.С.Никонюк, О.Д. Кочергіна, В.Р. Гаєвський, М.В. Мороз, Б.П.Рудик, Рівне: НУВГП. 2013. - 32 с.

Упорядник:

Никонюк Є.С., канд. фіз.-мат. наук, доцент кафедри хімії та фізики;

Кочергіна О.Д., асистент кафедри хімії та фізики;

Гаєвський В.Р., канд. техн. наук, доцент кафедри хімії та фізики;

Мороз М.В., канд. фіз.-мат. наук, доцент кафедри хімії та фізики;

Рудик Б.П., зав. лаб. кафедри хімії та фізики.

Відповідальний за випуск:

Гарашенко В.І., канд. техн. наук, доцент, кафедри хімії та фізики.

© Никонюк Є.С., Кочергіна О.Д.,
Гаєвський В.Р., Мороз М.В.,
Рудик Б.П., 2013
© НУВГП, 2014



ЗМІСТ

ВСТУП.....	3
Лабораторна робота № 4.1 _____ Вивчення гальванометра магнітоелектричної системи.....	4
Лабораторна робота № 4.2 _____ Перевірка закону Ампера	10
Лабораторна робота № 4.3 _____ Визначення питомого заряду електрона методом магнетрона.....	15
Лабораторна робота № 4.4 _____ Вивчення магнітного поля соленоїда за допомогою давача Холла	19
Лабораторна робота № 4.5 _____ Визначення горизонтальної складової напруженості магнітного поля Землі	26
Література.....	29
Додаток 1 _____ Приклад оформлення титульної сторінки..	30
Додаток 2 _____ Приклад оформлення звіту.....	31



ВСТУП

В даній методичці представлені лабораторні роботи з дисципліни «Фізика» розділ «ЕЛЕКТРОМАГНЕТИЗМ», які виконуються на кафедрі хімії та фізики.

Метою лабораторних робіт є вивчення фізичних процесів і явищ, які лежать в основі даного розділу фізики, а завданням є навчити студента вимірювати електричні величини і виконувати обробку результатів вимірювань. В процесі виконання лабораторної роботи студент оформляє звіт (див. зразок у додатках 1, 2).

У вступному занятті подана принципи дії, класифікація і основні характеристики електровимірювальних приладів.

У кожній лабораторній роботі вказана мета, теоретичні відомості, опис експериментальної установки, електрична схема, хід роботи і контрольні запитання.

У кожній лабораторній роботі вказана мета, теоретичні відомості, опис експериментальної установки, електрична схема, хід роботи і контрольні запитання, по яких студенти захищає роботу.



Лабораторна робота № 4.1

Вивчення гальванометра магнітоелектричної системи

Мета роботи: визначити внутрішній опір гальванометра, ціну поділки по струму і по напрузі.

Теоретичні відомості

(Теорія до даної роботи описана в лекційному курсі (інтерактивного комплексу Ч II), §§3.10-3.11, 4.1)

Гальванометр магнітоелектричної системи служить для вимірювання малих постійних струмів і напруг ($I \sim (10^{-8} \div 10^{-5})A$; $U \sim (10^{-6} \div 10^{-2})B$). В основі роботи гальванометра лежить дія магнітного поля на рамку з електричним струмом.

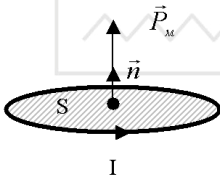
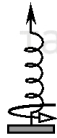


Рис.1.



Контур зі струмом характеризується магнітним моментом

$$\vec{P}_m = I S \vec{n}, \quad (1)$$

де I – сила струму, S – площа контура, \vec{n} – одиничний вектор нормалі до площини контура, зв'язаний з напрямком струму правилом правого гвинта (рис.1). Якщо контур зі струмом

вмістити в магнітне поле, то на нього діятиме обертаючий момент сили

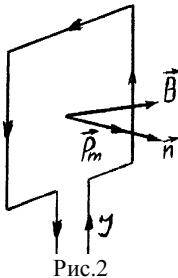


Рис.2

$$\vec{M} = \vec{P}_m \times \vec{B}$$

або в скалярній формі

$$M = P_m B \sin \alpha, \quad (2)$$

де \vec{B} – вектор магнітної індукції, α – кут між \vec{P}_m і \vec{B} (рис. 2). В стані рівноваги магнітний момент рамки напрямлений паралельно до ліній магнітної індукції (площина рамки перпендикулярна до \vec{B}). Чим більший кут між \vec{P}_m і \vec{B} , тим більший за вели-

чиною момент сили повертає рамку в положення рівноваги. Обертаючий момент, згідно з (1) і (2), пропорційний силі струму в рамці, що і лежить в основі принципу дії вимірювальних приладів магнітоелектричної системи. Схема такого приладу подана на рис. 3. В магнітному

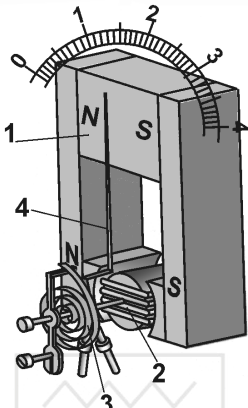


Рис. 3

полі постійного магніту **1** між нерухомим циліндром, виготовленим з магнітм'якого заліза (з малою коерцитивною силою), і полюсними виступами *N-S* знаходиться прямокутна котушка (рамка) **2**. Вона укріплена на двох півосях, на одній з яких закріплена вказівна стрілка приладу **4**. За кінцем стрілки розміщена шкала. Струм до рухомої котушки підводиться через дві спіральні пружини **3**. У відсутності струму ці пружини утримують рамку в рівноважному положенні, коли її

площина паралельна до \vec{B} . При проходженні через котушку струму, на котушку діє з боку магнітного поля обертаючий момент сили, пропорційний силі струму. Під дією цього моменту котушка **2** повернеться на кут α , при якому обертаючий момент зрівноважиться протидіючим моментом, створеним пружинами. Оскільки момент пружних сил пропорційний куту закручування пружини, то із рівності обертаючого і протидіючого моментів випливає, що величина кута повороту пропорційна силі струму. Відповідно і відхилення вказівної стрілки приладу пропорційне силі струму, тобто

$$I = k_i n, \tag{3}$$

де k_i – коефіцієнт пропорційності, який називається ціною поділки приладу по струму, n – кількість поділок, на яку відхилилась стрілка при вимірюванні. З (3) знайдемо $k_i = I/n$, тобто ціна поділки гальванометра по струму дорівнює силі струму, який викликає зміщення стрілки приладу на одну поділку.

Згідно з законом Ома, спад напруги на гальванометрі

$$U = I R_g, \tag{4}$$

де R_g – внутрішній опір гальванометра. З формул (3) і (4) одержимо

$$U = k_i R_g \cdot n = k_v n, \tag{5}$$



$$k_v = k_i \cdot R_g \quad (6)$$

де k_v – ціна поділки гальванометра по напрузі.

Вивід робочої формули

Для визначення R_g , k_i та k_v використаємо схему, подану на рис.4.

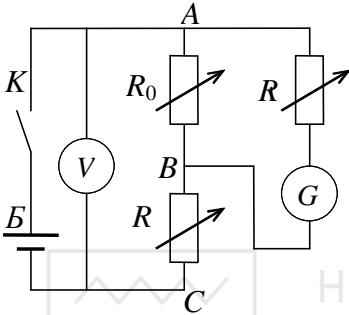


Рис. 4

Тут G – досліджуваний гальванометр, V – вольтметр, $R_1; R_0; R$; – магазини опорів.

Згідно закону Ома, сила струму на ділянці AC

$$I = \frac{U}{R_{AC}}, \quad (7)$$

де U – напруга на клеммах джерела, R_{AC} – опір ділянки кола, який рівний

$$R_{AC} = R_{AB} + R. \quad (8)$$

Підставляючи вираз (8) у формулу

(7), одержимо

$$I = \frac{U}{R_{AB} + R} \quad (9)$$

звідки

$$U = I R_{AB} + IR.$$

Очевидно, що

$$R_{AB} = \frac{R_0(R_1 + R_g)}{R_0 + (R_1 + R_g)}. \quad (10)$$

В загальному випадку зі зміною R_1 змінюється R_{AB} і сила струму I .

Спад напруги на ділянці AB дорівнює

$$U_{AB} = I_1(R_1 + R_g) = I_1^1 R_0, \quad (11)$$

де I_1 – сила струму, що проходить через гальванометр, I_1^1 – сила струму, що проходить через опір R_0 .

За законом Кірхгофа



$$I = I_1^1 + I_1. \quad (12)$$

Розв'язуючи систему рівнянь (9), (11) і (12) відносно I_1 , одержимо

$$I_1 = \frac{UR_0}{(R_{AB} + R)(R_g + R_0 \cdot R_1)} = k_i n_1. \quad (13)$$

Нехай $R_1 = 0$. Тоді струм, згідно з (13)

$$I_2 = \frac{UR_0}{(R'_{AB} + R)(R_g + R_0)} = k_i n_2, \quad (14)$$

де

$$R'_{AB} = \frac{R_0 R_g}{R_0 + R_g}$$

Із формули (13)

$$UR_0 = k_i n_1 (R_{AB} + R)(R_1 + R_g + R_0), \quad (16)$$

а з виразу (14)

$$UR_0 = k_i n_2 (R'_{AB} + R)(R_g + R_0). \quad (17)$$

Прирівнюючи праві частини одержаних виразів (16) і (17), отримаємо

$$k_i n_1 (R_{AB} + R)(R_1 + R_g + R_0) = k_i n_2 (R'_{AB} + R)(R_g + R_0). \quad (18)$$

Підставляючи значення R_{AB} і R'_{AB} із (10) та (15) в (18) і розв'язуючи одержане рівняння відносно R_g , маємо

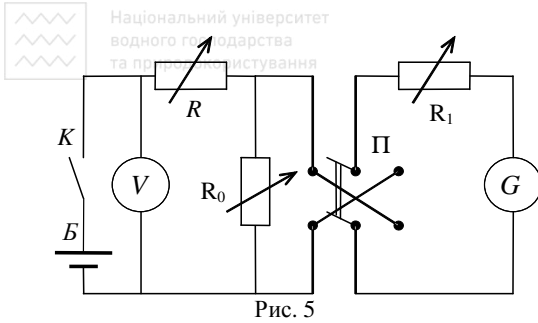
$$R_g = \frac{n_1 R_1}{n_2 - n_1} - \frac{R R_0}{R + R_0}. \quad (19)$$

Ціну поділки по струму визначаємо із рівняння (14)

$$k_i = \frac{U R_0}{n_2 (R_g (R + R_0) + R R_0)}. \quad (20)$$

Хід роботи

- Електрична схема приведена на рис. 5, де B – джерело постійного струму, G – гальванометр, $R; R_0; R_1$ – магазини опорів, Π – перемикач, за допомогою якого змінюють напрямок струму в гальванометрі, K – ключ, V – вольтметр. Опір R має бути вели-



ким і вказаний викладачем; магазин опорів R_1 та R_0 виведені на нуль.

2. Перевірити, чи суміщена стрілка гальванометра з нулем шкали.
3. Замкнути ключ К.
4. Підібрати опір R_0 та-

кий, щоб стрілка гальванометра відхилилась майже до кінця шкали. Записати показ гальванометра n_2 (в поділках)

5. Перемикачем П змінити напрям струму через гальванометр на протилежний і записати показ гальванометра n'_2 .
6. Перемикачем П змінюючи напрям струму через гальванометр, дослід повторити 2 рази для n_2 і n'_2 .
7. Підібрати опір R_1 такий, щоб покази гальванометра n_1 становили близько $0,4 n_2$ (в цьому випадку точність вимірювань R_g буде максимальною). Записати показ гальванометра в n_1 .
8. Перемикачем П змінити напрямок струму через гальванометр і записати показ гальванометра n'_1 .
9. Перемикачем П змінити напрямок струму через гальванометр дослід повторити ще 2 рази для n_1 і n'_1 .
10. Записати значення опорів R , R_1 , R_0 .
11. Записати покази вольтметра U .
12. Оцінити паспортні приладові похибки та похибки табличних величин.
13. Знайти середні значення n_1 і n_2 .
14. За робочими формулами (19), (20) і (6) обчислити R_g , k_i , k_v .
15. Обчислити відносну і абсолютну похибки, записати кінцевий результат.



$$\Delta R_g = \sqrt{\left(\frac{n_2 R_1 \Delta n_1}{(n_2 - n_1)^2}\right)^2 + \left(\frac{n_1 R_1 \Delta n_2}{(n_2 - n_1)^2}\right)^2 + \left(\frac{n_1 \Delta R_1}{n_2 - n_1}\right)^2 + \left(\frac{R_0^2 \Delta R}{(R + R_0)^2}\right)^2 + \left(\frac{R^2 \Delta R_0}{(R + R_0)^2}\right)^2}$$

$$\varepsilon = \pm \frac{\Delta R_g}{R_g}.$$

Результати вимірювань

$R =$	$\Delta(R)_0 =$
$R_0 =$	$\Delta(R_0)_0 =$
$R_1 =$	$\Delta(R_1)_0 =$
$U =$	$\Delta U_0 =$
	$\Delta(n_1)_0 = \Delta(n_2)_0 =$

№	n_1	n_1'	n_2	n_2'
1				
2				
3				
Ср.	$n_1 =$		$n_2 =$	

Контрольні запитання

1. Що називається магнітним моментом контуру зі струмом? Які його величина, напрямок, одиниця вимірювання?
2. Записати вираз для моменту сили, що діє на контур зі струмом, розміщений в магнітне поле.
3. При якій орієнтації контуру зі струмом в магнітному полі обертаючий момент максимальний? В якому випадку він дорівнює нулю?
4. Яка будова і принцип дії гальванометра магнітоелектричної системи?
5. Дайте визначення ціни поділки гальванометра по струму і по напрузі. Встановіть зв'язок між k_i та k_V .
6. Покажіть, що кут повороту рухомої частини гальванометра прямо пропорційний силі струму.
7. Чи можна гальванометром магнітоелектричної системи вимірювати змінні струми? Відповідь обґрунтуйте.



Перевірка закону Ампера

- Мета роботи:** 1) перевірити закон Ампера шляхом встановлення лінійності залежності $F(I)$ в незмінному магнітному полі;
2) визначити індукцію магнітного поля.

Опис установки

Установка для перевірки закону Ампера зображена на рис.1. Вона складається з фізичного маятника A і електромагніта M . Фізичний маятник тут – мідний провідник, зігнутий у вигляді прямокутної рамки. Сторона рамки ab довжиною ℓ

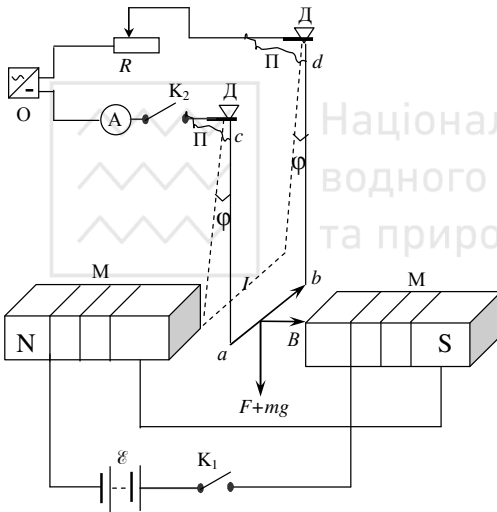


Рис.1

розміщена між полюсами електромагніта M перпендикулярно до ліній магнітної індукції; в точках c і d закріплені опорні тригранні призми D , що опираються на спеціальні латунні підшипники. Біля опорних призм до кінців c і d припаяні легкі гнучкі провідники Π , за допомогою яких провідник включають в електричне коло. Струм у провіднику, а значить і на ділянці

ab , можна змінювати за допомогою реостата R і вимірювати амперметром A . Електромагніт M живиться від джерела напруги \mathcal{E} . Рамка живиться струмом від джерела напруги O .

Теоретичні відомості та вивід робочої формули

(Теорія до даної роботи описана в лекційному курсі (інтерактивного комплексу ЧП), §§4.1, 4.4, 5.1, 5.3)



Нехай у магнітному полі з індукцією \vec{B} знаходиться лінійний елемент струму $Id\vec{\ell}$. На нього з боку поля діє сила, величина і напрямок якої визначаються законом Ампера

$$d\vec{F}_A = Id\vec{\ell} \times \vec{B}, \quad (1)$$

або у скалярній формі

$$dF_A = Id\ell B \sin \alpha, \quad (2)$$

де α – кут між $d\vec{\ell}$ та \vec{B} .

Сила, що діє на провідник зі струмом скінченої довжини, визначається за (1) або (2) інтегруванням по всій довжині провідника

$$F_A = I \int_{(\ell)} B d\ell \sin \alpha. \quad (3)$$

Зокрема, для прямолінійного провідника в однорідному магнітному полі ($\vec{B} = \text{const}$) з (3) одержимо

$$F_A = I\ell B \sin \alpha. \quad (4)$$

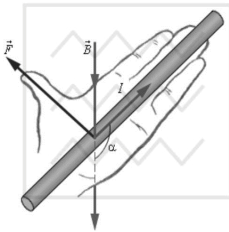


Рис.2

Напрямок сили Ампера знаходиться за правилом лівої руки (рис.2).

В даній лабораторній роботі, щоб одержати формулу для обчислення сили Ампера, розглянемо рівняння руху фізичного маятника (рамки $abcd$) Цей маятник здійснює коливання відносно осі cd . Застосуємо до нього основний закон динаміки обертального руху твердого тіла

$$I \cdot \ddot{\varphi} = M, \quad (5)$$

де I – момент інерції маятника відносно осі cd , $\ddot{\varphi}$ – кутове прискорення, M – головний момент зовнішніх сил відносно цієї осі.

У відсутності струму обертаний момент створює сила тяжіння, прикладена до центра мас маятника (див рис.3, 4).

$$M_1 = -mgr_1 \sin \varphi, \quad (6)$$

де r_1 відстань від осі обертання до центра мас, φ – кут відхилення маятника від положення рівноваги, m – маса маятника. Знак “-” означає, що момент сили тяжіння обертає маятник в бік, протилежний напрямку відхилення від рівноваги.

Якщо через ділянку ab , що знаходиться в магнітному полі електромагніта M , проходить електричний струм, то на маятник, крім сили тяжіння, діє сила Ампера. Напрямок сили Ампера, в залежності від

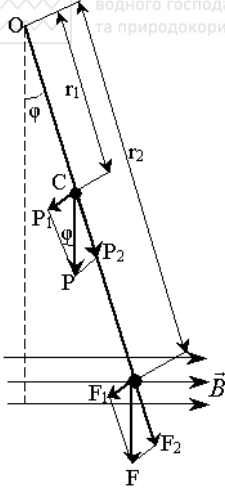


Рис.3

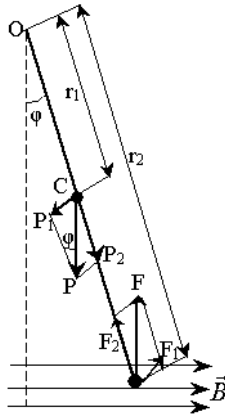


Рис.4

напрямку струму, або співпадає з напрямком сили тяжіння, або протилежний до нього. Сила Ампера прикладена до ділянки провідника ab і створює момент сили

$$M_2 = \pm F_A \cdot r_2 \sin \varphi \quad (7)$$

де r_2 – відстань від ділянки провідника ab до осі обертання. Знак “–” в (7) відноситься до випадку, коли сила Ампера співнапрявлена з силою тяжіння (рис.3), а знак “+” – протилежно напрямлена

(рис.4).

Після підстановки (7) і (6) в (5) одержимо

$$I\ddot{\varphi} = -mgr_1 \sin \varphi \mp F_A r_2 \sin \varphi.$$

Для малих кутів $\sin \varphi \approx \varphi$, тому, якщо кут відхилення малий, останнє рівняння можна записати у вигляді

$$I\ddot{\varphi} \approx -(mgr_1 \pm F_A r_2)\varphi, \text{ або } \ddot{\varphi} + \left(\frac{mgr_1 \pm F_A r_2}{I}\right)\varphi = 0.$$

Введемо позначення

$$\omega^2 = \frac{mgr_1 \pm F_A r_2}{I}, \quad (8)$$

тоді останнє рівняння набуде вигляду

$$\ddot{\varphi} + \omega^2 \cdot \varphi = 0. \quad (9)$$

Вираз (9) – диференціальне рівняння вільних гармонічних коливань, розв’язок якого

$$\varphi = \varphi_0 \sin(\omega t + \alpha_0), \quad (10)$$

де φ_0 – амплітудне значення кута відхилення, ω – власна циклічна частота, квадрат якої визначається рівнянням (8). Якщо струм в провіднику відсутній, то $F_A = 0$, і маятник коливається з циклічною частотою ω_0 . Тоді з (8)



$$\omega_0^2 = \frac{mgr_1}{I}. \quad (11)$$

З (8) і (11) знайдемо $\omega^2 - \omega_0^2 = \pm \frac{F_A \cdot r_2}{I}$, або

$$F_A = \pm \frac{I(\omega^2 - \omega_0^2)}{r_2}. \quad (12)$$

Циклічна частота пов'язана з періодом коливань співвідношенням $\omega = \frac{2\pi}{T}$. Врахувавши це, а також виразивши I з (11), запишемо рівняння (12) у вигляді

$$F_A = \pm \frac{mgr_1}{r_2} \left[\left(\frac{T_0}{T} \right)^2 - 1 \right],$$

де T_0 і T – періоди коливань маятника у відсутності та при наявності струму, відповідно. Відношення $\frac{T_0}{T}$ можна замінити відношенням проміжків часу $\frac{t_0}{t}$, за які маятник здійснив однакову кількість коливань. Тоді останнє рівняння набуде вигляду

$$F_A = \pm c \left[\left(\frac{t_0}{t} \right)^2 - 1 \right], \quad (13)$$

де $c = \frac{mgr_1}{r_2}$ – постійна лабораторної установки, яка вказана в її паспорті. Таким чином, вимірявши t_0 і t , за формулою (13) можна розрахувати силу Ампера для кількох значень сили струму і побудувати графік залежності $F_A(I)$. Оскільки напрямок струму на ділянці провідника аб перпендикулярний до ліній магнітної індукції (див. рис.1), то формула (4) для сили Ампера набуде вигляду

$$F_A = IB\ell, \quad (14)$$

де ℓ – довжина ділянки провідника аб.

В даній лабораторній роботі індукція магнітного поля B залишається незмінною, тому залежність $F_A(I)$ має бути лінійною. В цьому суть перевірки закону Ампера. Визначивши F_A для даного значення сили



струму, з (14) можна визначити індукцію магнітного поля, в якому знаходиться ділянка провідника ab .

$$B = \frac{F_A}{I \ell} \tag{15}$$

Хід роботи

1. Розімкнути ключ K_2 (показ амперметр – 0 А).
2. Відхилити рамку на невеликий кут, пропустити 5 коливань і виміряти час 50 коливань. Дані записати в таблицю 1 для $I=0$ А.
3. Замкнути ключ K_2 , за допомогою реостата виставити струм $I=1$ А і виміряти час 50 коливань рамки. Дані записати в таблицю 1 при $I=1$ А.
4. Повторити вимірювання часу при інших струмах. Результати вимірювань записати в таблицю 1.
5. За робочою формулою (13) обчислити F_a для всіх струмів і дані занести в таблицю 1 (t_0 відповідає $I=0$ А).
6. Побудувати графік залежності $F_a(I)$.
7. Вибрати на графіку три точки, які найкраще підтверджують співпадання експериментальної і теоретичної (лінійної) залежності сили Ампера від сили струму, і занести відповідні значення F та I в таб. 2.
8. Обчислити значення вектора магнітної індукції B за робочою формулою (15) для трьох значень струму.
9. Визначити середнє значення B
10. Обчислити відносну і абсолютну похибки за формулами, приведеними нижче і записати кінцевий результат.

$$\Delta B_i = |B_{cp} - B_i|, \quad \mathcal{E} = \frac{\Delta B_{cp}}{B_{cp}} \cdot 100\%$$

Результати вимірювань

$c =$

$\ell =$

Таблиця 1

$I, \text{ А}$	0	1,0	1,5	2,0	2,5	3,0	3,5
$t, \text{ с}$							
$F_A, \text{ Н}$							



№	I, A	F_A, H	$B, Tл$	$\Delta B, Tл$
1				
2				
3				
Ср.				

Контрольні запитання

1. Сформулювати і записати закон Ампера. Як визначається напрямок сили Ампера?
2. При якому напрямку провідника зі струмом у магнітному полі сила Ампера максимальна?
3. Дати визначення вектора магнітної індукції і його одиниці вимірювання в СІ.
4. Дати визначення основних характеристик гармонічних коливань (амплітуди, частоти, періоду, циклічної частоти, фази). Встановити зв'язок між циклічною частотою і періодом.
5. Що таке фізичний маятник? Вивести диференціальне рівняння вільних гармонічних коливань фізичного маятника. Чи будуть коливання маятника гармонічними при великих амплітудах?
6. Як впливає сила Ампера на період коливань фізичного маятника в даній лабораторній роботі? Як зміниться період коливань маятника при зміні напрямку струму на протилежний?
7. Вивести робочу формулу для обчислення сили Ампера. Чому при її виведенні не враховують індукційні струми?

Лабораторна робота № 4.3

Визначення питомого заряду електрона методом магнетрона

Мета роботи: визначити питомий заряд електрона методом магнетрона.

Теоретичні відомості та вивід робочої формули

(Теорія до даної роботи описана в лекційному курсі (інтерактивного комплексу Ч II), §§3.17, 4.5)



Магнетрон – це вакуумний діод, що знаходиться в однорідному магнітному полі, яке напрямлене перпендикулярно швидкості руху електронів. Діод складається з циліндричного порожнистого анода радіуса R і катода у вигляді дробини малого радіуса. Катод розміщений вздовж осі циліндричного анода.

Електрони, що вилітають з розжареного катода під дією електричного поля, створеного між анодом і катодом, рухаються до анода. При цьому електричне поле виконує роботу

$$A = e \cdot U, \tag{1}$$

де U – різниця потенціалів між анодом і катодом, e – заряд електрона. Згідно закону збереження енергії кінетична енергія електрона буде

$$\frac{mv^2}{2} = eU, \tag{2}$$

де m – маса електрона, v – його швидкість. З (2) знайдемо швидкість

$$v = \sqrt{\frac{2eU}{m}}. \tag{3}$$

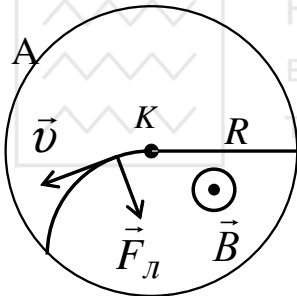


Рис.1

При наявності магнітного поля, вектор індукції якого напрямлений вздовж осі катода, на електрон крім електричного поля буде діяти сила збоку магнітного поля, магнітна складова сили Лоренца (яку будемо називати силою Лоренца), напрямком якої перпендикулярний до вектора швидкості електрона \vec{v} і вектора індукції магнітного поля \vec{B} . На рис.1 зображено зріз магнетрона площиною, перпендикулярною до катода К (як і до анода А та вектора магнітної індукції \vec{B}). Кривою зображена траєкторія руху електрона при наявності дії електричного і магнітного полів. Сила Лоренца дорівнює

$$\vec{F}_л = e\vec{v} \times \vec{B}. \tag{4}$$

В скалярній формі $F_л = e \cdot v \cdot B \sin \alpha$

Так як \vec{v} і \vec{B} перпендикулярні ($\sin \alpha = 1$), то модуль сили Лоренца

$$F_л = e \cdot v \cdot B. \tag{5}$$



Оскільки електрон рухається по колу (сила Лоренца при цьому виконує роль доцентрової сили), то (5) запишемо у вигляді

$$\frac{m \cdot v^2}{r} = e \cdot v \cdot B. \quad (6)$$

З (6) знаходимо радіус кола, по якому рухається електрон

$$r = \frac{m \cdot v}{e \cdot B}. \quad (7)$$

З виразу (7) видно, що чим більша індукція магнітного поля B , тим менший радіус кривизни траєкторії електронів. При деякому значенні індукції магнітного поля, яке назовемо критичним B_k , електрони не долітають до анода і починають рухатися по колу

радіусом $r_k = \frac{R}{2}$. При цьому сила

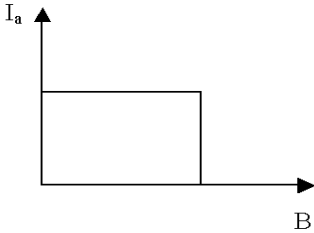


Рис.2

анодного струму I_a повинна різко зменшуватися (рис.2). Дослід показує, що при критичному значенні індукції магнітного поля анодний струм не падає стрибком до нуля, а плавно зменшується (рис.3). Такий хід залежності анодного струму пояснюється тим, що вилітаючі з катода електрони мають певний розподіл за швидкостями, пов'язаний з їх тепловим рухом всередині катода. Щоб зменшити вплив початкових швидкостей, потрібно

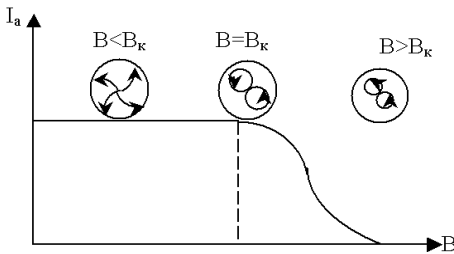


Рис.3

працювати при більших прискорюючих напругах.

Крім того, плавний спад кривої $I_a = f(B)$ зумовлений некоаксіальністю катода і анода, наявністю залишкового газу в лампі, неоднорідністю поля соленоїда по висоті

анода і т.д.

Із співвідношення (3) і (7) та з врахуванням, що $r_k = \frac{R}{2}$, одержимо

$$\frac{e}{m} = \frac{8U}{R^2 \cdot B_k^2}. \quad (8)$$



Індукція магнітного поля соленоїда, довжина ℓ якого співвірна з діаметром d , знаходиться за формулою

$$B_{кр} = \frac{\mu_0 \cdot N \cdot I_{ск}}{\sqrt{\ell^2 + d^2}}, \quad (9)$$

де $\mu_0 = 4\pi \cdot 10^{-7} \text{ Гн/м}$; N – число витків соленоїда.

Остаточно, підставляючи (9) у (8), отримаємо робочою формулу для визначення питомого заряду електрона

$$\frac{e}{m} = \frac{8 U (\ell^2 + d^2)}{(R^2 N I_{ск} \mu_0)^2}. \quad (10)$$

Опис установки

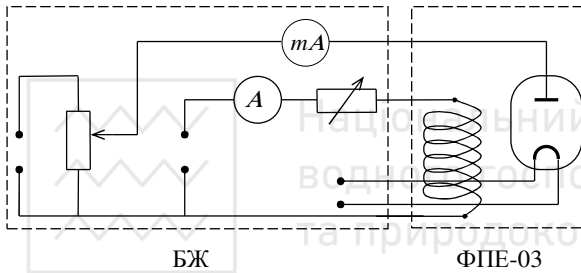


Рис.4

Схема експериментальної установки зображена на рис. 4. Вона складається з модуля ФПЕ-03, блока живлення (БЖ), міліамперметра.

Хід роботи

1. Встановити анодну напругу $U_a = 100\text{В}$ по вольтметру блока живлення.
2. Змінюючи силу струму в соленоїді при постійній анодній напрузі, зняти залежність анодного струму від струму соленоїда I_a від I_c . Дані занести в таблицю.
3. Оцінити паспортні приладові похибки та похибки табличних величин.
4. Побудувати графік залежності $I_a = f(I_c)$ і визначити по ньому критичний струм $I_{ск}$. Значення $I_{ск}$ вибирається на кривій $I_a = f(I_c)$ в точці, де I_a починає спадати.
5. За робочою формулою (10) визначити питомий заряд електрона.



6. Обчислити відносну і абсолютну похибки, записати кінцевий результат

$$\varepsilon = \sqrt{\left(\frac{\Delta U}{U}\right)^2 + \left(\frac{2\Delta R}{R}\right)^2 + \left(\frac{2\Delta\mu_0}{\mu_0}\right)^2 + \left(\frac{2\Delta I_{ck}}{I_{ck}}\right)^2 + \left(\frac{\Delta N}{N}\right)^2 + \left(\frac{2\Delta\ell}{\ell}\right)^2 + \left(\frac{2\Delta d}{d}\right)^2}$$

$$\Delta\left(\frac{e}{m}\right) = \pm \varepsilon \cdot \frac{e}{m}$$

Результати вимірювань

- | | |
|------------|----------------------|
| $U =$ | $\Delta U_0 =$ |
| $l =$ | $\Delta l_0 =$ |
| $d =$ | $\Delta d_0 =$ |
| $R =$ | $\Delta R_0 =$ |
| $N =$ | $\Delta N_0 =$ |
| $\mu_0 =$ | $\Delta(\mu_0)_0 =$ |
| $I_{ck} =$ | $\Delta(I_{ck})_0 =$ |

$I_a, \text{ mA}$									
$I_c, \text{ A}$									

Контрольні запитання

1. Яка будова магнетрона? Практичне використання магнетрона.
2. Описати електромагнітне поле в магнетроні.
3. Довести, що сила Лоренца не виконує роботи.
4. При яких умовах виникає сила Лоренца? Яка величина і напрям сили Лоренца?
5. Чому в залежності $I_a = f(I_c)$ відсутній різкий спад?
6. Вивести робочу формулу.

Лабораторна робота № 4.4

Вивчення магнітного поля соленоїда за допомогою давача Холла

Мета роботи: ознайомитися з холлівським методом вимірювання індукції магнітного поля; дослідити залежність індукції магнітного



поля в центрі соленоїда від сили струму; дослідити осьову неоднорідність магнітного поля в соленоїді.

Теоретичні відомості та вивід робочої формули

(Теорія до даної роботи описана в лекційному курсі (інтерактивного комплексу Ч II), §§4.2-4.3)

Соленоїд – котушка із провідника зі струмом можна вважати системою послідовно з'єднаних однакових колових струмів (рис.1), тому для розрахунку індукції B магнітного поля в довільній точці на осі соленоїда потрібно спочатку розглянути магнітне поле на осі колового

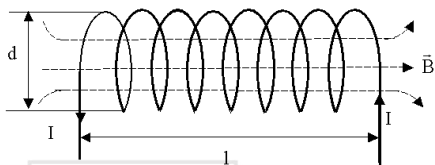


Рис.1

струму (одного витка соленоїда) (рис.2). Виберемо елемент струму $I d\vec{\ell}$. Вектор індукції магнітного поля, створеного цим елементом в точці А, положення якої задається радіус-вектором \vec{r} , визначається за-

коном Біо-Савара-Лапласа (у вакуумі)

$$d\vec{B} = \frac{\mu_0}{4\pi} I \frac{d\vec{\ell} \times \vec{r}}{r^3}, \quad (1)$$

де $\mu_0 = 4\pi \cdot 10^{-7}$ Гн/м – магнітна стала. При цьому $d\vec{B}$ можна розкласти на дві складові: $d\vec{B}_{\parallel}$ – паралельну до осі Z і $d\vec{B}_{\perp}$ – перпендикулярну до цієї осі. За принципом суперпозиції вектор індукції магнітного поля в даному випадку,

$$\vec{B} = \oint_{(\ell)} d\vec{B} = \oint_{(\ell)} d\vec{B}_{\parallel} + \oint_{(\ell)} d\vec{B}_{\perp} = \oint_{(\ell)} d\vec{B}_{\parallel}. \quad (2)$$

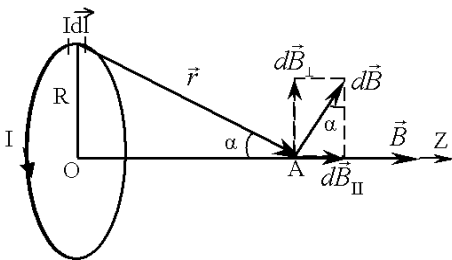


Рис.2

Тут враховано, що для кожного елементу $I d\vec{\ell}$ знайдеться симетричний елемент, що дає складову $d\vec{B}_{\perp}$ протилежного напрямку. Якщо врахувати, що $d\vec{B}_{\parallel}$ усіх елементів напрямлені вздовж осі Z , а також,



$$dB_{\parallel} = dB \sin \alpha = \frac{R}{r} dB \quad \text{і} \quad d\vec{\ell} \perp \vec{r},$$

то після підстановки (1) у (2) отримаємо для індукції магнітного поля на осі колового струму

$$B = \frac{\mu_0 I}{4\pi} \int_0^{2\pi R} \frac{R d\ell}{r^3} = \frac{\mu_0 I R^2}{2r^3}. \quad (3)$$

Зауважимо, що в центрі колового струму ($r = R$)

$$B = \frac{\mu_0 I}{2R}.$$

Для розрахунку індукції магнітного поля соленоїда розглянемо його осьовий переріз (рис. 3), припускаючи постійність щільності намотки

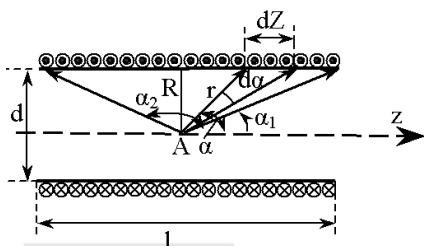


Рис. 3

вздовж осі Z . Якщо на одиницю довжини соленоїда припадає n витків, то на ділянці довжиною dz буде ndz витків, які в точці A створюють магнітне поле з індукцією

$$dB = \frac{\mu_0 I R^2}{2r^3} \cdot ndz. \quad (4)$$

Враховуючи, що $r = \frac{R}{\sin \alpha}$, $dz = \frac{rd\alpha}{\sin \alpha} = \frac{R d\alpha}{\sin^2 \alpha}$. проінтегруємо

вираз (4) по всій довжині соленоїда

$$B = \int_{(\ell)} dB = \frac{\mu_0 I n}{2} \int_{\alpha_1}^{\alpha_2} \sin \alpha d\alpha = \frac{\mu_0 I n}{2} (\cos \alpha_1 - \cos \alpha_2).$$

Отже індукції магнітного поля на осі соленоїда

$$B = \frac{\mu_0 I n}{2} (\cos \alpha_1 - \cos \alpha_2). \quad (5)$$

Якщо соленоїд довгий ($\ell \gg d$), то $\alpha_1 = 0$ і $\alpha_2 = \pi$. Тоді

$$B = \mu_0 I n. \quad (6)$$

Зауважимо, що формулу (6) можна отримати, використавши теорему про циркуляцію вектора індукції магнітного поля. Для довгого соленоїда магнітне поле практично однорідне (силові лінії еквідистантні

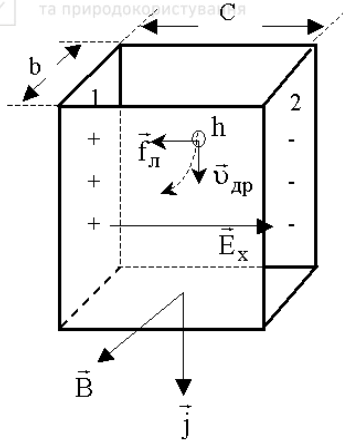


Рис. 4

він розміщений у поперечному магнітному полі з індукцією \vec{B} , то на носії струму, заряд яких e , і які рухаються з дрейфовою швидкістю $\vec{v}_{др}$, буде діяти сила Лоренца

$$f_{л} = e v_{др} \cdot B. \quad (7)$$

Ця сила, як видно з рис.4, буде відхиляти носії до грані 1, і між гранями 1 та 2 виникне поперечне холлівське поле з напруженістю \vec{E}_x , значення якої визначене з умови рівноваги ($f_{л} = e E_x$) становить

$$E_x = v_{др} \cdot B. \quad (8)$$

Різниця потенціалів між гранями 1 та 2 або холлівська напруга складає

$$U_x = E_x \cdot c = c v_{др} B. \quad (9)$$

Якщо врахувати, що густина струму пов'язана з $v_{др}$ і концентрацією носіїв p співвідношенням $j = ep v_{др}$, то (9) переписеться як

$$U_x = \frac{jB}{ep} \cdot c = \frac{I \cdot Bc}{ep \cdot bc} = \frac{1}{ep} \cdot \frac{IB}{b} = R_x \frac{IB}{b}, \quad (10)$$

де I – сила струму, що протікає по кристалу, а $R_x = \frac{1}{ep}$ – постійна Холла.

і паралельні до осі соленоїда). Для реальних соленоїдів, коли $d \approx \ell$, поле найсильніше в центрі соленоїда і зменшується при наближенні до його кінців.

Для визначення індукції магнітного поля на осі соленоїда в цій роботі використовуються напівпровідникові давачі, дія яких ґрунтується на ефекті Холла – давачі Холла (ДХ) (рис. 4). Нехай для ДХ використано напівпровідниковий кристал з дірковою провідністю (носії струму – дірки (hole)). Якщо вздовж такого кристалу протікає електричний струм з густиною \vec{j} і



Оскільки значення b і R_x є фіксованими параметрами ДХ, а сила струму підтримується постійною (для ДХ цієї роботи $I = 4\text{ мА}$), то доцільно ввести коефіцієнт пропорційності $K_x = \frac{b}{R_x I}$, і тоді (10) за-

пишеться як

$$B = K_x U_x . \quad (11)$$

Отже, для визначення значення індукції магнітного поля соленоїда достатньо виміряти холлівську напругу між контактами 1–2 ДХ (рис.5) і помножити її на K_x . У зв'язку з нееквіпотенціальністю контактів 1 та 2 з'являється напруга нееквіпотенціальності $\Delta U_{\text{н.е.}}$ навіть при відсутності магнітного поля. Врахувавши $\Delta U_{\text{н.е.}}$, запишемо

$$U_x = U'_x - \Delta U_{\text{н.е.}}, \quad (12)$$

де U'_x – напруга, що вимірюється вольтметром з великим входним опором (чи потенціометром), приєднаним безпосередньо до контактів 1 та 2 ДХ. Параметри K_x і $\Delta U_{\text{н.е.}}$, а також кількість витків N , довжина ℓ і діаметр d соленоїда задаються як паспортні дані блоку соленоїда.

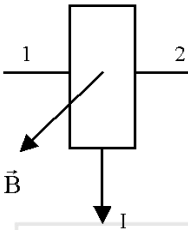


Рис.5

Опис установки

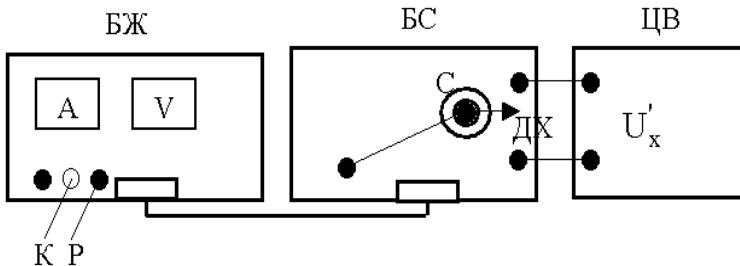


Рис.6

Блок-схема експериментальної установки зображена на рис.6. Блок живлення забезпечує регульований (регулятор Р) струм через соленоїд ($I_c = 0,3 \div 1,7\text{ А}$) який вимірюється амперметром А,

а також струм через ДХ ($I=4\text{мА}$). Давач Холла розміщений на рухомому штоці з шкалою, нульова позначка якої відповідає положенню ДХ в центрі соленоїда. Напруга на зондових контактах давача Холла вимірюється цифровим вольтметром.

Хід роботи

Дослідження залежності магнітної індукції в центрі соленоїда від струму соленоїда і осьової неоднорідності магнітного поля соленоїда

1. Розмістити шток з ДХ в трубі соленоїда в положенні “0” по шкалі (центр соленоїда).
2. Ввімкнути в мережу $\sim 220\text{В}$ БЖ і ЦВ, поставивши перемикач К в положення $5 \div 25\text{В}$.
3. Виміряти напругу U'_x при різних значеннях струму соленоїда $I_c = (0,4 \div 1,6)\text{А}$, з кроком $(0,2 \div 0,3)\text{А}$. Дані занести в таблицю 1.
4. Встановити задане викладачем значення I_c .
5. Переміщуючи шток з ДХ вздовж осі соленоїда з кроком $\Delta z = 1\text{см}$, виміряти U'_x , розрахувати U_x і B . Дані занести в табл.2.
6. За формулою (12) розрахувати U_x .
7. За формулою (11) розрахувати B при всіх значеннях I_c і Z .
8. Побудувати графік залежності $B = f(I_c)$ і $B = f(z)$. Зробити висновок.
9. Для центру соленоїда розрахувати B за формулами (5) та (6). Результати порівняти з експериментом; зробити висновки.

Результати вимірювань

$$K_x = \Delta U_{\text{н.е.}}$$

$$N = I_c$$

$$\ell = d = n = \frac{N}{\ell}$$



Таблиця 1

№	I_c, A	U'_x, B	U_x, B	$B, Tл$
1				
2				
3				
4				
5				
6				
7				

Таблиця 2

$z, мм$	0	10	20	30	40	50	60	70	80	90	95
U'_x, B											
U_x, B											
$B, Tл$											

Контрольні запитання

1. Записати і пояснити закон Біо-Савара-Лапласа.
2. Вивести формулу для індукції магнітного поля на осі і в центрі колового струму.
3. Вивести формулу для індукції магнітного поля в центрі довгого соленоїда, користуючись теоремою про циркуляцію вектора індукції магнітного поля.
4. В чому суть ефекту Холла?



Визначення горизонтальної складової напруженості магнітного поля Землі

Мета роботи: визначити горизонтальну складову напруженості магнітного поля Землі.

Теоретичні відомості

(Теорія до даної роботи описана в лекційному курсі (інтерактивного комплексу Ч II), §§ 4.1, 4.2)

Закон Біо-Савара-Лапласа (у вакуумі) у векторній формі записується

$$d\vec{H} = \frac{1}{4\pi} I \frac{d\vec{\ell} \times \vec{r}}{r^3}, \quad (1)$$

а в скалярній формі

$$dH = \frac{1}{4\pi} \frac{I d\ell r \sin \alpha}{r^2},$$

де $d\vec{\ell}$ – вектор елемента довжини провідника, I сила струму, що тече по провіднику, \vec{r} – радіус-вектор, вектор, який сполучає елемент довжини зі струмом (елемент струму $I \cdot d\vec{\ell}$) з точкою, де визначають вектор напруженість магнітного поля $d\vec{H}$.

Для визначення напруженості від усього провідника, необхідно застосувати принцип суперпозиції: напруженість магнітного поля, створеного сукупністю окремих магнітних полів рівна геометричній сумі напруженостей цих окремих полів.

$$\vec{H} = \sum_i^n \vec{H}_i \quad (2)$$

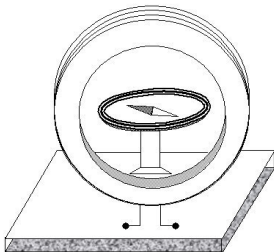


Рис.1

Тангенс-гальванометр – прилад призначений для вимірювання горизонтальної складової напруженості магнітного поля Землі, складається з вертикально встановленої колової рамки, на яку намотано кілька витків ізольованого провідника. В центрі рамки знаходиться маленька магнітна стрілка, що може вільно обертатися в



горизонтальній площині (рис.1)

На основі формул (1) та (2) напруженість магнітного поля в центрі колової рамки зі струмом визначається за формулою

$$H = \frac{IN}{2R}, \quad (3)$$

де I – сила струму в рамці, N – кількість витків, R – радіус кола. Напрямок \vec{H} визначається за правилом свердлика і співпадає з нормаллю до площини рамки. Крім того, існує магнітне поле Землі, напрямок напруженості якого співпадає з напрямком магнітного меридіана. При проходженні струму через котушку напруженість результуючого магнітного поля, згідно з принципом суперпозиції,

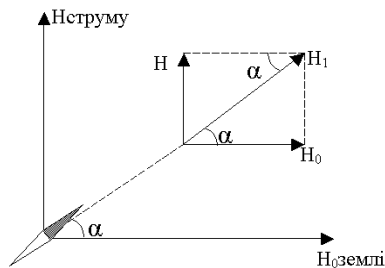


Рис.2

дорівнює векторній сумі напруженостей магнітного поля Землі і магнітного поля колового струму. Якщо площина колового струму збігається з площиною магнітного меридіана, то горизонтальна складова напруженості магнітного поля Землі \vec{H}_0 лежить у площині колового струму, а напруженість \vec{H} магнітного поля струму перпендикулярна до цієї площини, отже і до \vec{H}_0 . За принципом суперпозиції результуюча напруженість $\vec{H}_1 = \vec{H} + \vec{H}_0$ може бути знайдена геометрично за правилом паралелограма (рис.2). Магнітна стрілка, яка у відсутності струму орієнтувалася вздовж \vec{H}_0 , при проходженні струму через рамку повертається на деякий кут α і встановлюється вздовж напрямку результуючого поля \vec{H}_1 . Як видно з рис.2

$$H_0 = \frac{H}{\operatorname{tg} \alpha}. \quad (4)$$

Підставивши (1) в (2), одержимо

$$H_0 = \frac{I N}{2 R \operatorname{tg} \alpha}. \quad (5)$$



Хід роботи

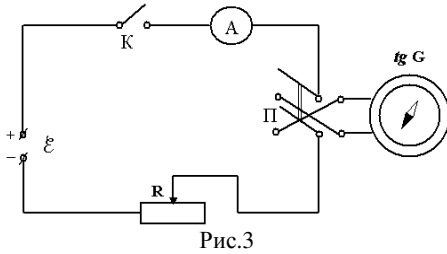


Рис.3

1. Скласти схему згідно рис.3.
2. Повертаючи тангенс-гальванометр у горизонтальній площині, встановити так, щоб кінець магнітної стрілки показував нуль.
3. Повертаючи рамку, встановити площину її витків паралельно до магнітної стрілки.
4. Замкнути ключ К (перемикач П замкнений в довільному положенні) і за допомогою реостата підібрати таку силу струму, щоб кут відхилення стрілки α був близьким до 45° (в цьому випадку похибка вимірювань буде найменшою). Виміряти кути відхилення кінців стрілки α_1 і α_2 .
5. Перемикачем П змінити напрямок струму на протилежний, виміряти кути відхилення стрілки α_3 і α_4 .
6. Дослід повторити два рази при незмінній силі струму.
7. Записати значення величин I, R, N .
8. Оцінити паспортні приладові похибки та похибки табличних величин.
9. Визначити середнє значення α .
10. За робочою формулою (5) знайти H_0 .
11. Обчислити відносну і абсолютну похибки, записати кінцевий результат.

$$\varepsilon = \pm \sqrt{\left(\frac{\Delta I}{I}\right)^2 + \left(\frac{\Delta R}{R}\right)^2 + \left(\frac{2\Delta\alpha}{\sin 2\alpha}\right)^2}$$

$$\Delta H_0 = \varepsilon \cdot H_0$$

Величина $\Delta\alpha$ має бути виражена в радіанах.

Результати вимірювань

$$I =$$

$$\Delta I_0 =$$

$$R =$$

$$\Delta R_0 =$$

$$N =$$

$$\Delta\alpha_0 =$$



№	α_1	α_2	α_3	α_4
1				
2				
3				
Ср	$\alpha =$			

Контрольні запитання

1. Сформулювати і записати закон Біо-Савара-Лапласа та принцип суперпозиції магнітних полів.
2. Який зв'язок між магнітною індукцією та напруженістю магнітного поля? В яких одиницях вимірюються B та H ?
3. Вивести формулу для напруженості магнітного поля в центрі колового струму.
4. Пояснити будову і принцип дії тангенс-гальванометра. Вивести робочу формулу.
5. Чому магнітна стрілка тангенс-гальванометра повинна бути невеликого розміру?
6. Від чого залежить кут відхилення стрілки в даній роботі?
7. Чому похибка вимірювань найменша, коли кут відхилення α близький до 45° ?

Література

1. Навчальний посібник "Загальна фізика", ч. II, під редакцією Олексин Д.І., Орленка В.Ф. Рівне, НУВГП, 2009
2. Трофимова Т.И. Курс фізики.–М., "Высшая школа", 1990.
3. Детлаф А.А., Яворский В.М. Курс фізики.–М., "Высшая школа", 1989.
4. Савельев И.В. Курс фізики.–М., "Наука", 1989, т.1–3.
5. Зачек І.Р., Кравчук І.М., Романишин Б.М. та ін. Курс фізики. За ред. Лопатинського І.Є., Львів, "Бескид Біт" 2002.
6. Олексин Д.І., Мороз В.М. Загальна фізика. Частина 1. Конспект лекцій для студентів заочної форми навчання. Рівне, 2002, 073-89.
7. Дубчак Д.І., Ковалець М.О., Орленко В.Ф., Никонюк Є.С., Шляховий В.Л. Загальна фізика. Частина 2. Конспект лекцій для студентів заочної форми навчання. Рівне, 2002, 073-90.
8. Кучерук І.М. та ін. Загальний курс фізики. У трьох томах, К., 1999.



Приклад оформлення титульної сторінки

НУВГП

Кафедра хімії та фізики

Звіт

з лабораторної роботи №

**Визначення горизонтальної складової напруженості
магнітного поля Землі**

Виконав:

ст. МБ ІІ

Яковчук А.А

Перевірів:

Орленко В.Ф.

Рівне 2013 р



1. МЕТА РОБОТИ: визначити горизонтальну складову напруженості магнітного поля Землі.

2. РОБОЧА ФОРМУЛА

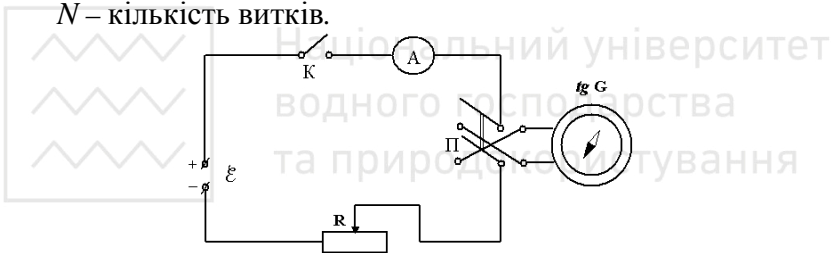
$$H_0 = \frac{I N}{2 R \operatorname{tg} \alpha}$$

I – сила струму;

α – кут відхилення стрілки;

R – радіус колових витків;

N – кількість витків.



3. РЕЗУЛЬТАТИ ВИМІРЮВАНЬ

$I =$

$\Delta I_0 =$

$R =$

$\Delta R_0 =$

$N =$

$\Delta \alpha_0 =$

№	α_1	α_2	α_3	α_4
1				
2				
3				
Ср	$\alpha =$			



4. ОБРОБКА РЕЗУЛЬТАТІВ ВИМІРЮВАНЬ

(Підставляємо в робочу формулу середні значення)

$$H_0 =$$

(Похибки обчислююся за вибраною методикою)

$$\varepsilon = \pm \sqrt{\left(\frac{\Delta I}{I}\right)^2 + \left(\frac{\Delta R}{R}\right)^2 + \left(\frac{2\Delta\alpha}{\sin 2\alpha}\right)^2}$$

$$\Delta H_0 = \varepsilon \cdot H_0$$

5. КІНЦЕВИЙ РЕЗУЛЬТАТ

$$H_0 = H_0 \pm \Delta H_0$$

$$\varepsilon = \quad \%$$